



## Electromyographic Analysis Of Shoulder Girdle Muscle In Male Volleyball Players With Different Types Of Scapular Dyskinesia While Performing A Floater Serve

Ehsan Tasoujian<sup>1</sup> | Hooman Minoonejad<sup>2\*</sup> | Mohammad Hossein Alizadeh<sup>3</sup> | Shahrzad Zandi<sup>4</sup>

1. Ph.D. student, Department of Sports injury and biomechanics, Faculty of Sport Sciences and Health, University of Tehran, Tehran, Iran.

2. Associate Professor, Department of Sports injury and biomechanics, Faculty of Sport Sciences and Health, University of Tehran, Tehran, Iran.

3. Professor, Department of Sports injury and biomechanics, Faculty of Sport Sciences and Health, University of Tehran, Tehran, Iran.

4. Assistance professor, Department of Sports injury and biomechanics, Faculty of Sport Sciences and Health, University of Tehran, Tehran,

corresponding author: Hooman Minoonejad, h.minoonejad@ut.ac.ir



### ARTICLE INFO

#### Article type:

Research Article

#### Article history:

Received: 10-5-2023

Revised: 23-8-2023

Accepted: 23-8-2023

#### Keywords:

Electromyography, Volleyball,  
Dyskinesis, Serve

#### How to Cite:

Ehsan Tasoujian, Hooman Minoonejad, Mohammad Hossein Alizadeh, Shahrzad Zandi.

**Electromyographic Analysis Of Shoulder Girdle Muscle In Male Volleyball Players With Different Types Of Scapular Dyskinesia While Performing A Floater Serve.**  
*Research In Sport Medicine and Technology*, 2024; 14(27): 75-95.

**Purpose:** Volleyball has a high potential for shoulder dyskinesia due to the repetitive nature of its movements, so the aim was to investigate electromyography analysis of shoulder girdle muscle in male volleyball players with different types of scapular dyskinesia while performing a floater serve.

**Methods:** The current research method is the causal-comparative type. 41 volleyball players were selected non-randomly and purposefully and were divided into three groups ( $n=13$  Pattern I,  $n=13$  Pattern II,  $n=13$  without scapulae dyskinesia). Electromyography of serratus anterior, upper, middle, and lower trapezius was evaluated while performing a floater serve using MyoMuscle.

**Results:** The results showed that during the acceleration phase of the serving, there was a significant difference in EMG of the upper trapezius ( $p=0.009$ ) and middle trapezius ( $p=0.01$ ) between the pattern II and no-dyskinesia, and there was a significant difference in EMG of serratus anterior ( $p=0.007$ ) and middle trapezius ( $p=0.01$ ) between the pattern I and no-dyskinesia,

**Conclusion:** It seems that during the acceleration phase, volleyball players with pattern II experienced an abnormal increase in upper trapezius activity and inhibition of the middle trapezius activity, while probably volleyball players with pattern I experience inhibition the activity of the middle trapezius and serratus anterior.



Published by Kharazmi University, Tehran, Iran. Copyright(c) The author(s) This is an open access article under e:  
CC BY-NC license (<https://creativecommons.org/licenses/by-nc/4.0/>)



# پژوهش در طب ورزشی و فناوری

شایا چاپی: ۲۲۵۲-۰۷۰۸ | شایا الکترونیکی: ۲۵۸۸-۳۹۲۵

Homepage: <https://jsmt.knu.ac.ir>

## تحلیل الکتروموایوگرافی عضلات کمربند شانه بازیکنان والیبال مرد با انواع دیسکنزی کتف حین سرویس موجی

احسان طسوجیان<sup>۱</sup> | هومن مینوئزاد<sup>۲\*</sup> | محمدحسین علیزاده<sup>۳</sup> | شهرزاد زندی<sup>۴</sup>

۱. دانشجوی دکتری، گروه آسیب‌شناسی و بیومکانیک ورزشی، دانشکده علوم ورزشی و تدرستی، دانشگاه تهران، تهران، ایران.
۲. دانشیار، گروه آسیب‌شناسی و بیومکانیک ورزشی، دانشکده علوم ورزشی و تدرستی، دانشگاه تهران، تهران، ایران.
۳. استاد، گروه آسیب‌شناسی و بیومکانیک ورزشی، دانشکده علوم ورزشی و تدرستی، دانشگاه تهران، تهران، ایران.
۴. استادیار، گروه آسیب‌شناسی و بیومکانیک ورزشی، دانشکده علوم ورزشی و تدرستی، دانشگاه تهران، تهران، ایران.

نویسنده مسئول: هومن مینوئزاد [h.minoonejad@ut.ac.ir](mailto:h.minoonejad@ut.ac.ir)

### چکیده

**هدف:** ورزش والیبال، به دلیل ماهیت تکراری حرکات آن، پتانسیل زیادی برای دیسکنزی کتف دارد، ازین‌رو هدف تحقیق حاضر بررسی الکتروموایوگرافی عضلات کمربند شانه والیالیست‌های با انواع دیسکنزی کتف حین سرویس موجی است.

**روش بررسی:** روش تحقیق حاضر از نوع علی مقایسه‌ای بوده که ۴۱ والیالیست به صورت غیرتصادفی و هدفمند انتخاب و به سه گروه (۱۳ نفر با الگوی اول، ۱۳ نفر با الگوی دوم و ۱۵ نفر بدون دیسکنزی کتف) تقسیم شدند. الکتروموایوگرافی سراتوس قدامی، ذوزنقه فوقانی، میانی و تحتانی با استفاده از سیستم مایوماسل حین سرویس موجی مورد بررسی قرار گرفت.

**یافته‌ها:** نتایج نشان داد که حین فاز شتاب سرویس موجی، بین گروه‌های دیسکنزی با الگوی دوم و گروه بدون دیسکنزی از لحاظ فعالیت عضلات ذوزنقه فوقانی ( $p=0.009$ ) و ذوزنقه‌ای میانی ( $p=0.01$ ) و بین گروه‌های دیسکنزی با الگوی اول و بدون دیسکنزی از لحاظ فعالیت عضلات سراتوس قدامی ( $p=0.007$ ) و ذوزنقه‌ای میانی ( $p=0.01$ ) تفاوت معناداری وجود دارد.

**نتیجه‌گیری:** به نظر می‌رسد حین فاز شتاب سرویس موجی، والیالیست‌های دارای دیسکنزی با بر جستگی الگوی دوم، افزایش غیرطبیعی فعالیت ذوزنقه‌ای فوقانی و مهار فعالیت ذوزنقه‌ای میانی را تجربه کرده‌اند، در حالی که احتمالاً والیالیست‌های دارای دیسکنزی با الگوی اول، مهار فعالیت ذوزنقه‌ای میانی و سراتوس قدامی حین این فاز تجربه می‌کنند.

### اطلاعات مقاله:

#### نوع مقاله: علمی-پژوهشی

دريافت: ۱۴۰۲/۲/۲۰

ويرايش: ۱۴۰۲/۶/۱

پذيرش: ۱۴۰۲/۶/۱

#### واژه‌های کلیدی:

الکتروموایوگرافی، والیبال،

دیسکنزی، سرویس

#### ارجاع:

احسان طسوجیان، هومن مینوئزاد، محمدحسین علیزاده، شهرزاد زندی. تحلیل الکتروموایوگرافی عضلات کمربند شانه بازیکنان والیبال مرد با انواع دیسکنزی کتف حین سرویس موجی. پژوهش در طب ورزشی و فناوری. ۱۴۰۳: ۷۵-۹۵(۲۷).

## Extended Abstract

### Background and Purpose

Scapular Dyskinesis (SDK) is defined as any increase or decrease in either linear or angular scapular movement in the 3 planes and is prevalent in overhead athletes and workers. Clinical diagnosis of scapular dyskinesia is a bit difficult and relies on observational evaluation. These include early scapula elevation or shrugging during arm elevation, atypical scapula medial border and inferior angle prominences relative to the thoracic cage in the static position or dynamic motion, and insufficient scapula upward and downward rotation during arm elevation/lowering. Kibler et al. classified the position and movement of the scapula into four movement patterns, including the inferior angle of the scapula prominence (pattern I), medial border of the scapula prominence (pattern II), abnormal scapular upward rotation/elevation (pattern III), and normal movements (pattern IV). It has been suggested by researchers that weakening in the periscapular muscles may be connected to abnormal scapular motion. It has been specifically suggested that abnormal scapular kinematics are associated with excessive activation of the upper trapezius and inhibited of the lower trapezius and serratus anterior. Given the connection between scapular movement patterns and shoulder problems, it may be crucial to pinpoint the unique features of the various scapular movement patterns in order to guide treatment plans. There is much research that have investigated the electromyographic analysis of shoulder girdle muscle in people with scapular dyskinesia, so far it is not clear scapular dyskinesia is the result of changes in the activity of shoulder girdle muscles, or scapular dyskinesia will lead to a change in the activity pattern of the muscles around the shoulder girdle. Volleyball has a high potential for shoulder dyskinesia due to the repetitive nature of its movements. Volleyball service and spike movements are divided into five phases: wind-up, cocking, acceleration, deceleration, and follow-through. This paper focuses on all the types of scapular dyskinesis. The purpose of this study was to, the aim was to investigate electromyography analysis of shoulder girdle muscle in male volleyball players with different types of scapular dyskinesia while performing a floater serve.

## Methods

The current research method is the causal-comparative type. 41 volleyball players aged 18-25 were selected non-randomly and purposefully and were divided into three groups of 13 players with inferior angle of scapula prominence, 13 players with medial border of scapula prominence and 13 players without scapulae dyskinesia. Participants with previous surgery or fracture in the upper limbs, neck-related pain reproduced by the Spurling's and cervical quadrant tests, recurrent glenohumeral joint dislocation in the last two years, and shoulder pain evoked by the Upper Limb Tension Test were excluded. All players were explained the research objectives and methodology and signed the informed consent. This cross-sectional research was approved by the Human Research Ethics Committee of Tehran University (IR.UT.SPORT.REC.1402.040).

All Subjects were evaluated by an experienced physical therapist. Scapular position and pattern of the movement were assessed using Kibler's method during the shoulder raising/lowering. It was considered positive when one of the 3 patterns of excessive prominence of the inferior angle (pattern I), medial border (pattern II), abnormal scapular upward rotation/elevation (pattern III), be observed in 3 of 5 trials.

Electromyography of 4 muscles including serratus anterior, upper trapezius, middle trapeziu and lower trapezius in the dominant shoulder was evaluated while performing a floater serve using MyoMuscle. For collecting data, a 16-channel wireless electromyography system manufactured by Noraxon Company of America was used, which was synchronized with the 3D Myomotion accelerometer.

The sampling rate of the electromyography system was set to 1500 Hz and the myomotion system was set to 200 Hz, and the data of these two systems were synchronized. Electrodes for the upper trapezius muscle were placed midway between the spinous process of the seventh cervical vertebrae and the posterior tip of the acromion process. The middle of the trapezius was defined as midway on the horizontal line between the third thoracic spine and the root of the spine of the scapula. The electrodes for the lower trapezius muscle were placed obliquely upward and laterally along the line between the intersection of the spine of the scapula and the seventh thoracic spinal

process. The serratus anterior electrodes were placed anterior to the latissimus dorsi and posterior to the pectoralis major. A reference electrode was placed on the ipsilateral clavicle.

The wind-up phase was a preparatory phase that begins with shoulder abduction and extension and ends with initiating external shoulder rotation. The cocking phase began with the initiation of external shoulder rotation and ended with maximal external shoulder rotation. The acceleration phase began with forceful internal shoulder rotation and ended with ball impact. The deceleration phase began with ball impact and ended with the upper arm perpendicular to the trunk. The follow-through phase began when the upper arm is perpendicular to the trunk and ended when all arm motion is complete.

Each athlete was allowed about 5 to 7 minutes to warm up their muscles by performing active movements; Then, in order to familiarize themselves with the test method and determine the serve speed, the athletes performed 5 serve. In order to normalize the speed of the ball and reduce the impact of the ball on the electrodes, all people were asked to choose the designated area in the middle of the volleyball court, i.e. between area 6 and 3. Each person performed 5 services, the first service for familiarization and the last service to eliminate the effect of fatigue were not recorded.

Data were analyzed using analysis of variance test at the significance level of 0.05. SPSS 26.0 software was used for data analysis. Data was analyzed using ANOVA test at the significance level  $\alpha \leq 0.05$ . The Shapiro-Wilk test was performed to confirm normal distribution of the kinematics and EMG data.

## Findings

The results of the independent t-test showed that there was no significant difference between the groups and indicated that the groups were homogenous in terms of demographic data. The results of Shapiro's test showed normal distribution of the data and Levene's test showed the homogeneity of the variance of the groups.

The results of the one-way analysis of variance test showed that there is a significant difference between groups during the acceleration phase of the float serve, in terms of %MVIC of upper trapezius ( $p=0.01$ ,  $\eta^2=0.20$ ), middle trapezius ( $p=0.005$ ,  $\eta^2=0.24$ ), serratus anterior ( $p=0.01$ ,  $\eta^2=0.21$ ). The results of Tukey's post hoc test showed that the difference

in upper trapezius muscle due to the difference in the pair groups without dyskinesia-dyskinesia type II ( $MD=6.02$ ,  $p=0.009$ ). Also, these findings showed that the difference in the middle trapezius was due to the difference in the pair groups of without dyskinesia-dyskinesia I ( $MD=7.51$ ,  $p=0.01$ ) and without dyskinesia-dyskinesia II ( $MD=7.59$ ,  $p=0.01$ ). The results related to serratus anterior muscle as well were caused by the difference between the without dyskinesia and type 1 dyskinesia groups ( $MD=4.50$ ,  $p=0.007$ ).

### Conclusion

Understanding the scapular kinematics and associated muscle activity corresponding to specific types of scapular dyskinesis is of value if the consequences of such changes are related to clinical outcomes and the injury mechanism. Furthermore, such insight may guide treatment strategies and improve clinical outcomes. Our results provide an examination method and changes in muscular activities related to scapular dyskinesis. The present study was conducted to investigate electromyography analysis of shoulder girdle muscle in male volleyball players with different types of scapular dyskinesia while performing a floater serve., and the results generally showed that during the acceleration phase of the float serve, between the groups with type II dyskinesia and the group without Dyskenia in terms of the activity of upper trapezius and middle trapezius muscles and there is a significant difference between the first type dyskinesia and non-dyskinesia groups in terms of the activity of serratus anterior and middle trapezius muscles. The present study showed that volleyball players with scapula medial border prominence are more prone to abnormal patterns in the use of upper and middle trapezius muscles. However, volleyball players with inferior angle prominence will experience decreased activity of the trapezius middle and serratus anterior muscle during the acceleration phase of the float serve. It should be noted that the results of the present research did not show any difference in terms of the pattern of using the investigated muscles in the other five phases of the float service. This study examined for the first time the activation patterns of the scapular stabilizer muscles during a sports task (volleyball serve). In this study, the volleyball serve was divided into five phases (wind-up, cocking, acceleration, deceleration, and follow-through), which can help future research to compare and generalize the obtained data. It should be noted that despite all

considerations and precautions, this study had some limitations. Conducting all stages of research tests by one examiner can limit the generalizability of our findings. Also, the subjects of this study declared mild to moderate levels of shoulder pain. Thus, evidence is insufficient to draw generalizable conclusions about those with severe levels of pain. In the end, it should be mentioned that, this research did not receive any specific grant from funding agencies in the public, commercial, or not-for-profit sectors. We appreciate all the volleyball players of current study for cooperating kindly.

## مقدمه

بیش از ۶۰ درصد ورزشکارانی که دچار آسیب شانه می‌شوند، دیسکنتری کتف را تجربه خواهند کرد (۱). دیسکنتری کتف که بعنوان تغییر در کینماتیک کتف تعریف می‌شود (۲)، می‌تواند کل زنجیره کینماتیکی شانه را تحت تأثیر قرار داده و سندروم گیرافتادگی شانه<sup>۱</sup> را در پی داشته باشد (۳). بر جستگی زاویه تحتانی، بالا رفتن زودهنگام کتف و ریتم غیرطبیعی کتفی بازویی حین بالا و پایین بردن شانه از عالم رایج و معمول دیسکنتری کتف می‌باشد (۵، ۶). از جمله ریسک فاکتورهایی که می‌تواند منجر به دیسکنتری کتف شود شامل خستگی، نقص نرولوژیکی، مهار شدن توسط زائدۀ های درون مفصل دوری بازویی یا زائدۀ تحت آخرومی می‌باشد (۶). ورزش والیبال، به دلیل ماهیت تکراری ضربات اسپک بالای سر، سرویس و دفاع روی تور، دارای پتانسیل زیادی برای دیسکنتری کتف و آسیب‌های شانه می‌باشد (۷). مطالعات قبلی مدعی شده‌اند که انقباضات اکستریک شانه در طی فاز کاهش شتاب احتمالاً منجر به هایپتروفی خلفی کپسول شانه شده و به مرور باعث نقص دامنه حرکتی گلنوهمورال گردد. این تغییرات می‌تواند بر کنترل عصبی-عضلانی کتف تأثیر گذاشته و الگوهای حرکتی جبرانی و دیسکنتری کتف را در پی داشته باشد (۸-۱۰). بیان شده است، حدود یک-چهارم آسیب‌های والیبالیست‌ها مربوط به آسیب‌های شانه است (۱۱-۱۴). این نکته نیز حائز اهمیت است که در بین ورزشکارانی که معمولاً حرکت قوی اندام فوقانی دارند، ورزشکاران رشتۀ والیبال، بالاترین رتبه را از حیث درد شانه دارا هستند است (۱۱-۱۴). از طرفی دیگر محققان دیسکنتری کتف و تغییر بیومکانیک حرکت ضربه به توب را از عوامل مؤثر در دردهای شانه والیبالیست‌ها که گزارش کرده‌اند (۱۱). بسیاری از محققان تلاش کرده‌اند زاویه مفصل، نقص قدرت عضلانی و همچنین وضعیت کتف را در والیبالیست‌ها با و بدون نقص شانه ارزیابی کنند (۱۵، ۱۱). لیکن تاکنون مطالعات بسیاری کمی وجود دارد که به بررسی الگوی فعالیت عضلات ثبات دهنده کتف حین اجرای سرویس و اسپک والیبال پرداخته باشد (۱۶، ۱۷). این در حالی است که علی رغم تلاش محققان، مطالعه‌ای یافته نشد که فعالیت عضلات اطراف کتف والیبالیست‌های با و بدون دیسکنتری را حین سرویس و اسپک والیبال مورد بررسی قرار داده باشد. این خلاصه تحقیقاتی با توجه به اهمیت نقش عضلات کتف در حفظ وضعیت مناسب کتف نسبت به بازو قابل تأمل است (۱۸). لازم به ذکر است که تحقیقات انجام شده در حیطۀ الکترومایوگرافی<sup>۲</sup> (EMG) تغییر در فعالیت عضلانی افراد با دیسکنتری کتف را گزارش کرده‌اند (۲). از آنجاییکه عضلات ثبات دهنده کتف (سراتوس قدامی و ذوزنقه‌های فوقانی، میانی و تحتانی) به منظور کنترل وضعیت و حرکت کتف حین فعالیت‌های خاص به صورت جفت نیرو هماهنگ هستند می‌توان بیان داشت که احتمالاً کینماتیک غیرطبیعی کتف در نتیجه جفت نیروهای غیرهمنگ عضلات ثبات دهنده کتف می‌باشد (۱۹).

از این رو، با توجه به مطالب ذکر شده در فوق اهمیت بررسی الگوی به کارگیری عضلات کتفی در خلال سرویس و اسپک والیبال بیشتر از پیش نمایان خواهد شد. دو نوع از سرویس که در این رشتۀ مورد استفاده قرار می‌گیرد سرویس

1. Impingement Syndrome

2. Electromyography

موجی سنتی<sup>۱</sup> و سرویس پرشی<sup>۲</sup> که انفعاری تر است، می باشد<sup>(۹)</sup>. روکیتو<sup>۳</sup> و همکاران (۱۷) به همراه میورا<sup>۴</sup> و همکاران (۱۶) از محدود محققانی هستند که به بررسی الگوی فعالیت عضلات گلنوهمورال حین اجرای سرویس و اسپک والیبال پرداختند. روکیتو و همکاران (۱۷) در تحقیق خود، الگوی فعالیت عضلانی دلتؤید قدامی، فوق خاری، تحت خاری، گرد بزرگ و کوچک، تحت کتفی، پهن پشتی و سینه‌ای بزرگ را حین اجرای سرویس و اسپک والیبال مورد بررسی قرار دادند. محققان حرکات سرویس و اسپک والیبال را به پنج فاز جمع شدن<sup>۵</sup>، آماده‌سازی<sup>۶</sup>، شتاب<sup>۷</sup>، کاهش شتاب<sup>۸</sup> و ادامه دادن حرکت<sup>۹</sup> تقسیم کردند که مجموعاً ۱/۹۵ ثانیه برای سرویس و ۱/۱۱ ثانیه برای اسپک به طول انجامید. از جمله نتایج جالب توجه این تحقیق کاهش فعالیت عضلات مورد بررسی حین فازهای جمع شدن و ادامه حرکت بود. اما در خلال فاز جمع شدن اسپک والیبال، حداقل فعالیت در عضلات دلتؤید، تحت خاری و فوق خاری ثبت شد. میورا و همکاران (۱۶) نیز تلاش کردند، تأثیر وضعیت قرار گیری توب حین ضربه اسپک والیبال را بر الگوی فعالیت عضلات اطراف شانه و کتف را مورد ارزیابی قرار دهند. آن‌ها بعد از بررسی ضربه توب در چهار وضعیت (استاندارد، خلفی، قدامی و خارجی) متوجه کاهش فعالیت عضله سراتوس قدامی حین فاز جمع شدن در وضعیت لترال نسبت به وضعیت استاندارد شدند. اگرچه تحقیقات زیادی وجود دارد که الگوی فعالیت الکتریکی عضلات کمربند شانه را در افراد با دیسکنژی کتف مورد بررسی قرار داده باشند، تاکنون این سؤال بی‌پاسخ مانده است که آیا دیسکنژی کتف نتیجه تغییر فعالیت عضلات کمربند شانه می‌باشد، یا این دیسکنژی کتف می‌باشد که منجر به تغییر الگوی فعالیت عضلات اطراف کمربند شانه خواهد شد (۲۰، ۲). لازم به ذکر است علیرغم اینکه بیان شده است که عضلات اطراف کمربند شانه برای حفظ حرکت مناسب استخوان کتف نسبت به استخوان بازو بسیار مهم هستند و همچنین با پذیرش این واقعیت که درد شانه در بازیکنان والیبال اغلب ناشی از عدم تعادل عضلات کتف می‌باشد (۱۶)، لیکن مطالعه‌ای یافت نشد که فعالیت EMG عضلات کمربند شانه را در افراد با الگوهای مختلف دیسکنژی مورد بررسی و مقایسه قرار داده باشد. این در حالی است که مطالعاتی همچون هانگ و همکاران بیان داشته‌اند که هر کدام از انواع دیسکنژی می‌تواند الگوهای فعالیت عضلانی منحصر به‌فردی در اطراف کمربند شانه داشته باشد (۲۰) بنابراین با توجه به خلاصه تحقیقاتی موجود در مورد الگوی فعالیت عضلات کمربند شانه بازیکنان رشته والیبال با انواع مختلف دیسکنژی کتف حین انجام یک تکلیف ورزشی مختص والیبال مانند سرویس، تحقیق حاضر با فرض اینکه هر کدام از انواع دیسکنژی کتف الگوی فعالیت عضلانی منحصر به‌فردی را در خلال حرکت سرویس والیبال دارند، تلاش کرد میزان فعالیت الکتریکی عضلات ثبات دهنده کتف بازیکنان والیبال مرد با و بدون دیسکنژی کتف را حین حرکت سرویس موجی مورد بررسی قرار دهد.

- 
1. Traditional Float Serve
  2. Jump Serve
  3. Rokito
  4. Miura
  5. Wind Up
  6. Cocking
  7. Acceleration
  8. Deceleration
  9. Follow Through

## روش‌شناسی

### شرکت‌کنندگان

بررسی حاضر از نوع علی مقایسه‌ای بوده که ۴۱ والیالیست به صورت غیرتصادفی و هدفمند انتخاب شدند. در ابتدا محقق با همکاری فدارسیون پزشکی ورزشی پرونده پزشکی بازیکنان شرکت کننده در لیگ برتر، لیگ دسته یک و لیگ امیدهای والیال مورد بررسی قرار داد. با در نظر گرفتن معیارهای خروج از تحقیق با ورزشکارانی که ساکن تهران و کرج بودن تماس تلفنی برقرارشد. همچنین پژوهشگر با حضور در محل تمرین بازیکنان منتخب و شرح پژوهش برای ورزشکاران، از میان ورزشکاران با دامنه سنی ۱۸-۳۰ سال شهر تهران، پس از انجام آزمون‌های اولیه، در نهایت بر اساس نتایج آزمون SDT و با استناد به مطالعات قبلی<sup>(۲۱)</sup> ۴۵ نفر برای ارزیابی دقیق‌تر و نهایی انتخاب و در سه گروه ۱۵ نفری (دیسکنتری نوع اول، دیسکنتری نوع سوم و بدون دیسکنتری) شدند. با وجود قرار قبلی، ۴ نفر از شرکت‌کنندگان حاضر به شرکت در جلسه ارزیابی نشده و در نهایت ۴۱ والیالیست بعنوان آزمودنی در آزمون‌های تحقیق شرکت کردند. شرکت کنندگان بر اساس نتایج آزمون دیسکنتری کتف (SDT)<sup>(۱)</sup> به سه گروه: دیسکنتری با برجستگی زاویه تحتانی کتف، دیسکنتری با زاویه داخلی (۱۳ نفر) و بدون دیسکنتری کتف (۱۵ نفر) تقسیم شدند. در ابتدا هدف کلی و روش انجام مطالعه برای آزمودنی‌ها شرح داده شد. در صورت مایل بودن فرد به شرکت در مطالعه، پس از امضای فرم رضایت نامه معاینات لازم انجام می‌پذیرفت. ملاک‌های ورود برای تحقیق حاضر شامل: داشتن یکی از انواع دیسکنتری کتف، سابقه بازی در یکی از سه لیگ والیال کشور (لیگ برتر، لیگ امید، لیگ دسته یک) در طی سه سال اخیر، دامنه حرکتی بیشتر از ۱۵۰ درجه فلکشن شانه و نمره درد متوسط بر اساس پرسشنامه مقیاس دیداری درد (VAS)<sup>(۲)</sup> می‌بود. این درحالی بود که ملاک‌های خروج از تحقیق حاضر شامل این موارد می‌شد: ورزشکارانی که سابقه شکستگی یا جراحی قبلی در اندام فوقانی در یک سال گذشته را داشتند، سابقه دررفتگی‌های مکرر مفصل گلنوهمورال در دو سال گذشته را داشته‌اند، دارای درد مرتبط با گردن بر اساس آزمون تحریک کننده اسپورلینگ<sup>(۳)</sup> بودند. پس از ارائه توضیحات شفاهی و کتبی اهداف و روش تحقیق، ورزشکارانی که متمایل به شرکت در تحقیق بودند فرم رضایت‌نامه شرکت در مطالعه را امضا کردند. لازم به ذکر است این تحقیق بخشی از یک پژوهه تحقیقاتی تأیید شده توسط کمیته اخلاق دانشگاه تهران با کد (IR.UT.SPORT.REC.1402.040) می‌باشد. بعد از امضاء کردن فرم رضایت‌نامه، از آزمودنی‌ها خواسته شد که با درآوردن لباس خود آماده ارزیابی دیسکنتری کتف شوند.

1. Scapular Dyskinesis Test  
2. Visual Analogue Scale  
3. Spurling Test

## روش کار

### آزمون SDT

دستورالعمل مربوط به بالا بردن بازوها در صفحه کتفی با دنبال کردن یک خط هدف و با یک سرعت یکسان به آزمودنی‌ها آموزش داده شد. ابتدا در یک وضعیت ایستاده، به آزمودنی‌ها اجازه داده شد تا دست‌ها در حالت آرنج صاف در کنار بدن آویزان شوند. سپس از آزمودنی‌ها خواسته شد در حالیکه دمبل‌ها را در دست خود نگه داشته و شست آن‌ها به سمت بالا باشد، دست‌های خود را به سه شماره (که توسط مترونوم نواخته می‌شد) تا انتهای دامنه حرکتی بالا برده و با سه شماره به طرف وضعیت شروع پایین آورند. میزان وزن دمبل براساس توانایی فرد در بالا بردن دست‌ها بدون حس ناراحتی (VAS از ۱/۵ تا ۲/۵ کیلوگرم انتخاب گردید. جهت ارزیابی، آزمودنی‌ها هر دو دست خود را پنج بار بالا و پایین می‌آورند. یک ارزیاب که دارای مدرک پزشکی ورزشی بوده و ۲۵ سال سابقه کلینیکی و تحقیقاتی داشته، به حرکات مورد آزمایش بدون هر گونه بحثی و آموزشی نمره می‌داد. در صورتیکه ارزیاب در حداقل ۳ تلاش از پنج تلاش متوجه الگوی غیر طبیعی می‌شد، آن الگو بعنوان الگوی غیر طبیعی نمره داده می‌شد. درجه بندی، براساس دسته‌بندی وضعیت کتف و الگوی حرکتی در چهار الگوی اصلی هنگام ارزیابی تعیین می‌شد(۴). الگوی برجستگی زاویه تحتانی کتف (الگوی اول) نشان دهنده این بود که زاویه تحتانی کتف چه در حالت استراحت و چه در حین حرکات پویا، به صورت خلفی از قسمت قفسه سینه جدا شود. الگوی برجستگی حاشیه داخلی کتف (الگوی دوم) نشان دهنده این بود که حاشیه داخلی کتف چه در حالت استراحت و چه در حین حرکات پویا به صورت خلفی از قسمت خلفی قفسه سینه جدا شود. الگوی برجستگی حاشیه فوقانی کتف یا ریتم نامناسب کتفی بازویی (الگوی سوم) نشان دهنده بالا رفتن زود هنگام یا حرکات غیر کافی یا بیش از حد کتف در خلال حرکات شانه بود. در خلال ارزیابی، اگر کتف حداقل حرکت را در خلال ۶۰ درجه ابتدایی از بالا بردن بازو و سپس حین فاز بالا بردن، خیلی نرم به چرخش بالایی می‌رفت و در نهایت در حین فاز پایین آمدن چرخش پایینی خیلی نرم می‌داشت، الگوی کتف توسط ارزیاب بعنوان الگوی طبیعی (الگوی چهارم) تشخیص داده می‌شد(۴). (تصویر ۱). با توجه به شیوع کم الگوی سوم در بین والیالیست‌هایی که مورد غربالگری قرار گرفتند، محققان فقط الگوهای اول و دوم را انتخاب و مورد مطالعه قرار دادند.



تصویر ۱. آزمون دیسکتری کتف برای تعیین نوع دیسکتری کتف

## الکترومايوگرافی

به منظور انجام تحقیق حاضر از سیستم الکترومايوگرافی ۱۶ کاناله وايرلس، ساخت شرکت نوراکسون<sup>۱</sup> کشور آمریکا که با سیستم شتاب سنج مایوموشن سه بعدی ساخت شرکت نوراکسون کشور آمریکا<sup>۲</sup> سینکرونایز بود استفاده شد. برای اجرای آزمون، ابتدا محل قرارگیری الکترودها در ناحیه شانه سمت غالب تعیین شد. برای تعیین محل الکترودها از لمس لندمارک‌های استخوانی و انقباض ایزومتریک استفاده گردید. پس از تعیین محل جاگذاری الکترودها بر اساس پروتکل سنیام<sup>۳</sup>، نواحی مورد نظر آماده (تراشیدن موهای ناحیه با تیغ یکبار مصرف، تمیز کردن پوست با الکل طبی و استفاده از سمباده نرم به منظور برداشتن لایه‌های سطحی و مرده پوست جهت کاهش مقاومت) و علامت‌گذاری شد (۲۰). الکترودهای ذوزنقه فوقانی، در نقطه ۵۳ درصدی خط گذرنده از زائده آخرومی و زائده خاری مهره هفتم گردند، روی برجسته‌ترین قسمت عضله نصب شد. الکترودهای ذوزنقه میانی، در نقطه ۵۰ درصدی بین حاشیه داخلی کتف و ستون فقرات در سطح مهره سوم سینه ای و الکترودهای عضله ذوزنقه تحتانی بر روی کنار لبه میانی تحتانی کتف، روی برجسته‌ترین قسمت عضله، ۵ سانتی‌متر پایین‌تر از ریشه خار کتف با زاویه مورب ۵۵ درجه نسبت به افق قرار گرفت. الکترودهای عضله سراتوس قدامی نیز روی بخش تحتانی زیر بغل و همارتفاع زاویه تحتانی کتف، جلوی عضله پهن پشتی و قسمت خلفی عضله سینه‌ای بزرگ، قرار گرفت (تصویر ۲) (۲۰). پس از قرار دادن الکترودها روی بدن، سنسورهای مایوموشن در ناحیه میانی سگمنت بازو و قفسه سینه به گونه‌ای تعییه شده که با الکترودها تداخل نداشته باشند قرار گرفتند. نرخ نمونه برداری سیستم الکترومايوگرافی روی ۱۵۰۰ هرتز و سیستم مایوموشن روی ۲۰۰ هرتز تنظیم شد که اطلاعات این دو سیستم همزمان‌سازی<sup>۴</sup> شدند.

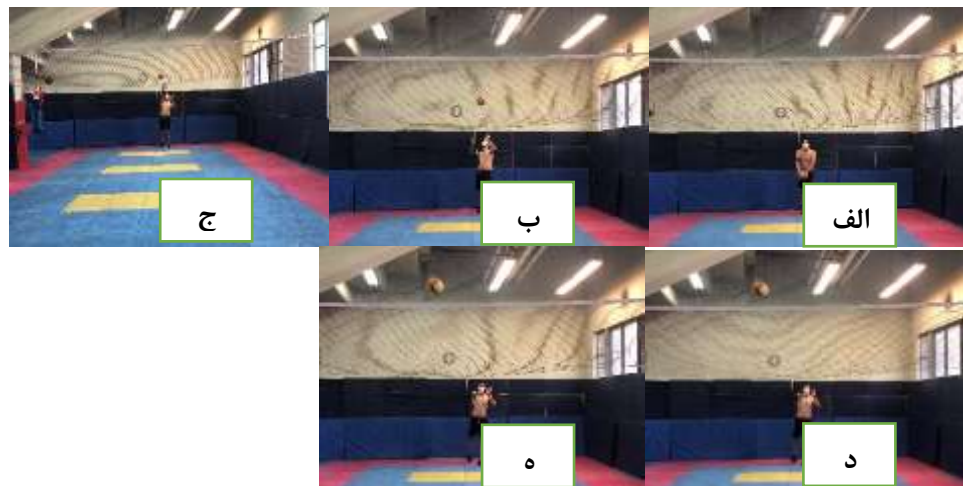


تصویر ۲. محل قرار گیری الکترودهای الکترومايوگرافی و سنسورهای مایو موشن

همه الکترودها روی برآمدگی مرکز عضله، موازی با فیبر عضلانی نصب گردید و فاصله مرکز تا مرکز الکترودها ۲۳ میلی‌متر در نظر گرفته می‌شد. همچنین، با استفاده از انقباض ایزومتریک ایزوله عضلات، از درست بودن محل قرارگیری الکترودها اطمینان حاصل شد. پس از اطمینان از صحت جاگذاری الکترودها، حداقل انقباض ایزومتریک ارادی (MVIC<sup>۵</sup>)

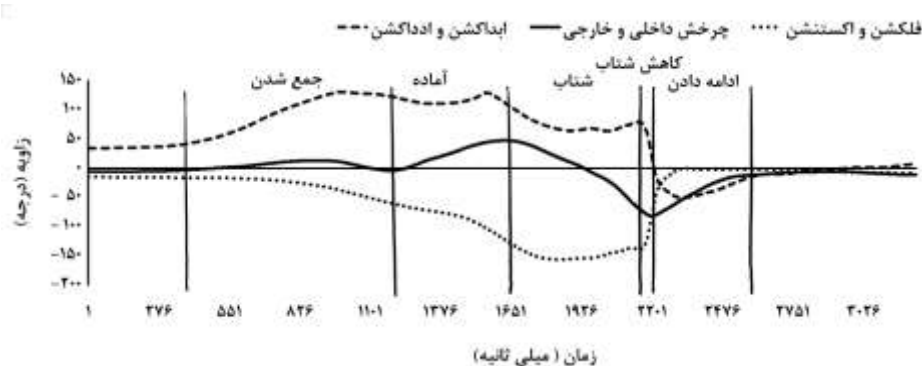
1. Noraxon  
2. Ultium™ EMG's Internal IMU  
3. SENIAM  
4. Synchronization  
5. Maximum Voluntary Isometric Contraction

هر عضله با استفاده از آزمون‌های دستی عضلاتی در طی ۵ ثانیه با سه تکرار ثبت گردید و در انتها فعالیت الکترومیوگرافی عضلات در حین انجام اسپک موجی (شناور) اندازه‌گیری شد. به هر ورزشکار حدود ۵ تا ۷ دقیقه اجازه داده می‌شد تا با انجام حرکات فعال عضلات خود را گرم کنند؛ سپس ورزشکاران به منظور آشنایی با نحوه آزمون و تعیین سرعت سرویس، ۵ ضربه سرویس آزمایشی انجام می‌دادند. به منظور نرمال کردن سرعت توپ و کاهش تأثیر ضربه به توپ بر الکترودها از همه افراد خواسته شد که هدف سرویس خود را ناحیه مشخص شده در وسط زمین والیال یعنی بین منطقه ۶ و ۳ انتخاب کنند. در صورت اجرای صحیح سرویس فعالیت EMG عضلات به طور هم‌زمان در نرم‌افزار مربوط ثبت می‌شد. هر فرد ۵ سرویس اجرا کرد، که سرویس ابتدایی به منظور آشنایی و آخرین سرویس به منظور حذف اثر خستگی، ثبت نگردید (تصویر ۳).



تصویر ۳. اجرای سرویس موجی (شناور) و ارزیابی فعالیت الکترومیوگرافی عضلات ثبات دهنده کتفی (الف: جمع شدن، ب: آماده‌سازی، ج: شتاب، د: کاهش شتاب و ادامه حرکت)

در مرحله آنالیز داده‌ها، اختلاف دیتاهای حاصل از سنسورهای مایوموشن نصب شده بر روی قفسه سینه و بازو در سه صفحه حرکت محاسبه گردید. دیتاهای نهایی مایوموشن که بر حسب درجه بودند، نشان‌دهنده میزان حرکت بازو در سه صفحه حرکتی بودند. بر اساس حرکت بازو، حرکت سرویس به پنج فاز (جمع شدن، آماده‌سازی، شتاب، کاهش شتاب و ادامه‌دادن حرکت) تقسیم شد (۱۶، ۱۷، ۱۱) و دیتاهای EMG طبق این فازها به طور مجزا مورد مطالعه قرار گرفت. فاز جمع شدن همان فاز آماده شدن بود که با ابداشتن و اکستنشن شانه شروع شده و با شروع چرخش خارجی شانه پایان یافت. فاز آماده‌سازی همزمان از شروع چرخش خارجی شانه شروع شده و تا حداقل چرخش خارجی شانه ادامه داشت. فاز شتاب از زمان چرخش داخلی سریع بازو تا ضربه به توپ بود. فاز کاهش شتاب همزمان با ضربه به توپ شروع و با قرار گیری بازو در وضعیت عمود بر تنه خاتمه می‌یافت. فاز ادامه حرکت از زمان قرارگیری بازو به صورت عمود بر تنه تا انتهای حرکت بازو بود (نمودار ۱).



نمودار ۱. تقسیم بندی حرکت سرویس به پنج فاز (جمع شدن، آماده سازی، شتاب، کاهش شتاب و ادامه دادن حرکت) طبق زوایای حاصل از شتاب سنج

سیگنال‌های EMG ابتدا با استفاده از نرمافزار متلب<sup>۱</sup> یکسوسازی<sup>۲</sup> شدند، سپس فیلترهای باترورث بالاگذر<sup>۳</sup> (۱۰ هرتز)، پایین گذر<sup>۴</sup> (۴۵۰ هرتز) و میان نگذر<sup>۵</sup> (۵۰ هرتز) بر روی آنها اعمال گردید. مجدور میانگین ریشه<sup>۶</sup> سیگنال‌ها در پنجره زمانی ۲۰۰ میلی‌ثانیه محاسبه و نسبت به حداقل انقباض ارادی نرمال‌سازی گردیدند. مقدار MVIC%， بر اساس میانگین سه تکرار در ۵ فاز حرکت سرویس برای محاسبات بعدی مورد استفاده قرار گرفت.

جهت بررسی طبیعی بودن وضعیت توزیع داده‌ها از آزمون‌های شاپیرو ویلک<sup>۷</sup> و برای بررسی تجانس و همگنی واریانس‌ها، از آماره لون<sup>۸</sup> استفاده شد. برای مقایسه درصد فعالیت عضلات مورد بررسی گروه‌ها حین فازهای مختلف سرویس موجی، از آزمون تحلیل واریانس یکراهمه (آنوا)<sup>۹</sup> در سطح معناداری ۰/۰۵ استفاده گردید. بهمنظور مقایسه جفت گروه‌ها آزمون تعقیبی توکی<sup>۱۰</sup> به کار برده شد. میزان بزرگی هرگونه تفاوت بین گروه‌ها با استفاده از مجدور اتا<sup>۱۱</sup> با درنظر گرفتن ملاک تعريف شده (اندازه اثر ضعیف: مقدار مجدور اتا کمتر از ۰/۰۴؛ اندازه اثر متوسط: مقدار مجدور اتا بین ۰/۰۴ و ۰/۳۶؛ اندازه اثر قوی: مجدور اتا بزرگ‌تر از ۰/۳۶) تعیین گردید. لازم به ذکر است که از نرمافزار اس بی اس اس<sup>۱۲</sup> نسخه ۲۶ به منظور انجام آزمون‌های آماری مربوطه استفاده شد.

1. MATLAB
2. Rectify
3. Butterworth high pass filter
4. Butterworth Low pass filter
5. Notch filter
6. Root Mean Square<sup>۴</sup> RMS
7. Shapiro-Wilk
8. Levene's tests
9. ANOVA
10. Tukey's test
11. Eta-Squared
12. SPSS

## یافته‌ها

جدول ۱ میانگین و انحراف معیار (MD) ویژگی‌های فردی گروه‌های مورد تحقیق را نشان می‌دهد. نتایج آزمون تی تحلیل واریانس یکراهه بیانگر عدم وجود اختلاف معنادار بین گروه‌ها و حاکی از همگن بودن گروه‌ها به لحاظ ویژگی‌های فردی بود.

جدول ۱. اطلاعات دموگرافیک افراد مورد مطالعه

p- مقدار	F	بدون دیسکنتری انحراف معیار $\pm$ میانگین	دیسکنتری نوع دوم انحراف معیار $\pm$ میانگین	دیسکنتری نوع اول انحراف معیار $\pm$ میانگین	متغیر
۰/۱۱	۲/۳۷	۲۰/۶۰ $\pm$ ۲۰/۰۹	۲۲/۹۲ $\pm$ ۴/۱۵	۲۳/۵۴ $\pm$ ۴/۱۶	سن (سال)
۰/۴۷	.۷۷	۱۸۴/۸۷ $\pm$ ۸/۲۹	۱۸۷/۵۴ $\pm$ ۹/۰۵	۱۸۸/۶۹ $\pm$ ۷/۸۷	قد (سانتی متر)
۰/۰۸	۲/۷۳	۷۹/۵۳ $\pm$ ۶/۶۵	۷۵/۰۰ $\pm$ ۵/۷۳	۸۱/۳۵ $\pm$ ۸/۳۵	وزن (کیلو گرم)

میانگین و انحراف معیار درصد فعالیت عضلات سراتوس قدامی و ذوزنقه‌ای‌های فوقانی، تحتانی و میانی در حین فازهای جمع شدن، آماده‌سازی، شتاب، کاهش شتاب و ادامه حرکت در جدول ۲ نشان‌داده شده است. نتایج آزمون تحلیل واریانس یکراهه نشان داد که حین فاز شتاب سرویس موجی، بین گروه‌های موردمطالعه از لحاظ درصد فعالیت عضلات ذوزنقه فوقانی ( $p=0/01$ ,  $MD=0/20$ ,  $p=0/005$ ,  $MD=0/24$ ) و سراتوس قدامی ( $p=0/01$ ,  $MD=0/21$ ,  $p=0/005$ ,  $MD=0/20$ ) تفاوت معناداری وجود دارد (جدول ۲). نتایج آزمون تعقیبی توکی نشان داد که معنادار بودن تفاوت بین گروهی عضله ذوزنقه‌ای فوقانی ناشی از تفاوت جفت گروه بدون دیسکنتری - دیسکنتری نوع دوم ( $p=0/009$ ,  $MD=0/06$ )، ذوزنقه‌ای میانی ناشی از تفاوت جفت گروه‌های بدون دیسکنتری - دیسکنتری نوع اول ( $p=0/01$ ,  $MD=0/07$ ) و بدون دیسکنتری - دیسکنتری نوع دوم ( $p=0/01$ ,  $MD=0/05$ ) و عضله دندانه‌ای قدامی ناشی از تفاوت جفت گروه بدون دیسکنتری - دیسکنتری نوع اول ( $p=0/007$ ,  $MD=0/04$ ) بود.

جدول ۲. نتایج آزمون تحلیل واریانس یکراهه جهت مقایسه درصد فعالیت عضلات ثبات دهنده کتفی حین فازهای سرویس شناور

$\eta^2$ (مجذور اتا)	p- مقدار	F	بدون دیسکنتری انحراف معیار $\pm$ میانگین	دیسکنتری نوع دوم انحراف معیار $\pm$ میانگین	دیسکنتری نوع اول انحراف معیار $\pm$ میانگین	فاز سرویس	عضله
۰/۰۶	۰/۲۸	۱/۳۰	۲۶/۹۵ $\pm$ ۳/۶۷	۳۰/۵۹ $\pm$ ۶/۲۸	۲۸/۶۰ $\pm$ ۷/۵۱	جمع شدن	ذوزنقه‌ای فوقانی
۰/۱۳	۰/۰۶	۲/۹۷	۳۵/۴۰ $\pm$ ۴/۲۷	۳۸/۸۱ $\pm$ ۵/۱۴	۳۹/۹۴ $\pm$ ۶/۰۷	آماده‌سازی	
۰/۲۰	۰/۰۱*	۴/۹۴	۴۶/۳۳ $\pm$ ۴/۰۲	۵۲/۳۶ $\pm$ ۵/۷۱	۴۸/۶۴ $\pm$ ۵/۴۷	شتاب	
۰/۰۸	۰/۲۰	۱/۶۵	۳۸/۲۲ $\pm$ ۸۳	۳۴/۵۴ $\pm$ ۵/۰۸	۳۳/۸۷ $\pm$ ۷/۱۷	کاهش شتاب	
۰/۰۱	۰/۷۴	۰/۳۰	۲۰/۶۴ $\pm$ ۴/۲۲	۲۰/۳۸ $\pm$ ۵/۶۹	۲۲/۱۰ $\pm$ ۸/۰۹	ادامه حرکت	

۰/۰۰۴	۰/۹۱	۰/۰۸	۱۶/۶۷±۲/۲۶	۱۶/۴۴±۳/۷۰	۱۶/۰۸±۴/۹۶	جمع شدن	ذوزنقه‌ای میانی
۰/۰۲	۰/۵۹	۰/۰۳	۲۸/۵۷±۲/۹۸	۲۸/۸۷±۷/۷۹	۲۶/۸۵±۴/۶۵	آماده‌سازی	
۰/۲۴	۰/۰۰۵**	۶/۰۹	۴۹/۲۱±۵/۰۵	۴۱/۶۲±۶/۸۲	۴۱/۶۹±۸/۰۳	شتاپ	
۰/۰۴	۰/۴۵	۰/۰۹	۳۲/۸۵±۳/۸۸	۳۴/۰۶±۹/۸۶	۳۰/۶۴±۶/۴۰	کاهش شتاب	
۰/۰۴	۰/۴۶	۰/۰۸	۲۱/۱۱±۳/۶۰	۱۸/۶۹±۶/۲۱	۱۹/۵۹±۵/۶۳	ادامه حرکت	
۰/۰۰۹	۰/۰۸۳	۰/۰۷	۲۰/۸۱±۲/۶۱	۲۰/۲۳±۵/۶۰	۱۹/۷۳±۵/۹۱	جمع شدن	ذوزنقه‌ای تحتانی
۰/۰۲	۰/۵۹	۰/۰۲	۴۰/۰۵±۱/۶۰	۳۹/۸۷±۷/۵۹	۳۸/۳۹±۶/۴۸	آماده‌سازی	
۰/۰۹	۰/۱۴	۲/۰۱	۳۲/۹۴±۵/۶۱	۲۹/۴۴±۱۰/۴۰	۲۶/۹۹±۷/۲۶	شتاپ	
۰/۱۳	۰/۰۵۹	۳/۰۴	۱۹/۳۴±۲/۴۳	۱۶/۳۶±۳/۴۵	۱۷/۵۱±۳/۷۶	کاهش شتاب	
۰/۰۷	۰/۰۲۱	۱/۶۱	۱۴/۶۵±۱/۷۶	۱۳/۰۸±۱/۹۳	۱۴/۳۱±۳/۲۸	ادامه حرکت	
۰/۰۸	۰/۰۱۷	۱/۸۲۳	۳۵/۶۵±۵/۰۱	۳۳/۰۴±۴/۵۸	۳۲/۹۹±۲/۶۲	جمع شدن	سراتوس قدامی
۰/۰۹	۰/۰۱۴	۲/۰۶۶	۵۱/۰۲±۶/۱۷	۴۹/۴۵±۳/۰۲	۴۷/۶۱±۲/۸۹	آماده‌سازی	
۰/۲۱	۰/۰۱*	۵/۲۷۵	۴۴/۶۰±۴/۵۴	۴۲/۸۷±۲/۲۱	۴۰/۰۹±۳/۷۱	شتاپ	
۰/۰۳	۰/۰۵۳	۰/۰۶۳۶	۳۰/۳۳±۳/۵۹	۲۹/۲۹±۳/۰۳	۲۹/۱۸±۲/۱۰	کاهش شتاب	
۰/۰۶	۰/۰۳۰	۱/۲۲۴	۲۴/۸۵±۴/۴۵	۲۳/۳۱±۳/۹۵	۲۲/۰۴±۵/۷۷	ادامه حرکت	

\* تفاوت معنادار بین گروه دیسکنتری نوع اول (برجستگی زاویه تحتانی کتف) و بدون دیسکنتری ( $p < 0.05$ )

\*\* تفاوت معنادار بین گروه دیسکنتری نوع دوم (برجستگی حاشیه داخلی کتف) و بدون دیسکنتری ( $p < 0.05$ )

## بحث

تحقیق حاضر با هدف بررسی الکترومایوگرافی عضلات کمربند شانه و الیالیست‌های با انواع دیسکنتری کتف حین سرویس موجی انجام شد که به‌طورکلی نتایج آن نشان داد که حین فاز شتاب سرویس موجی، بین گروه‌های دیسکنتری نوع دوم و گروه بدون دیسکنتری از لحاظ فعالیت عضلات ذوزنقه فوقانی و ذوزنقه‌ای میانی و بین گروه‌های دیسکنتری نوع اول و بدون دیسکنتری از لحاظ فعالیت عضلات سراتوس قدامی و ذوزنقه‌ای میانی تفاوت معناداری وجود دارد.

تحقیق حاضر نشان داد که والیالیست‌های با و بدون دیسکنتری، حین فازهای جمع شدن، آماده‌سازی، کاهش شتاب و ادامه حرکت سرویس موجی والیالی، الگوی مشابهی از درصد فعالیت الکتریکی عضلات کمربند شانه‌ای را نشان می‌دهند، لیکن هنگام فاز شتاب، درصد فعالیت الکتریکی عضلات سراتوس قدامی و ذوزنقه‌ای های فوقانی و میانی بین گروه‌های موردمطالعه تفاوت معناداری داشت. به‌گونه‌ای که در این فاز درصد فعالیت الکتریکی عضله ذوزنقه‌ای فوقانی گروه بدون دیسکنتری نسبت به گروه دیسکنتری نوع دوم، درصد فعالیت الکتریکی ذوزنقه‌ای میانی گروه بدون دیسکنتری نسبت به هر دو نوع دیسکنتری اول و دوم و درصد فعالیت الکتریکی عضله سراتوس قدامی گروه بدون دیسکنتری نسبت به گروه دیسکنتری نوع اول متفاوت بود. این در حالی بود که تحقیق حاضر هیچ‌گونه تفاوت معناداری بین EMG عضلات کمربند شانه‌ای گروه دیسکنتری اول و دوم حین فازهای پنج گانه سرویس موجی (شناور) نشان نداد. علی‌رغم تلاش محققان، در بین مطالعاتی که به بررسی کینماتیک کتف و الگوی فعل‌سازی عضلات کتف حین سرویس یا اسپک والیال پرداخته‌اند،

مطالعه‌ای یافت نشد که نقش دیسکنتری کتف بر فعالیت عضلانی عضلات ثبات دهنده کتف را مورد بررسی قرار داده باشد، ازین‌رو مقایسه نتایج تحقیق حاضر با دیگر تحقیقات به صورت جزئی و دقیق امکان‌پذیر نمی‌باشد.

در مقایسه با مطالعات قبلی که بر روی الگوی سرویس و اسپیک والیبال انجام شده است، الگوی مشابهی برای فعالیت عضلات کتف از فاز جمع شدن تا فاز ادامه حرکت یافت شد(۱۶). میورا و همکاران (۱۶) در مطالعه خود تلاش کردند تأثیر وضعیت قرار گیری توپ حین ضربه اسپیک والیبال را بر الگوی فعالیت عضلات اطراف شانه و کتف مورد ارزیابی قرار دهن. آن‌ها به صورت همخوانی با مطالعه حاضر بیان داشته‌اند که حین فازهای آماده‌سازی، شتاب و کاهش شتاب، سراتوس قدامی به همراه عضلات ذوزنقه‌ای فوقانی، میانی و تحتانی فعالیت متوسط رو به بالایی تجربه خواهند کرد. محققان دلیل احتمالی فعالیت زیاد سراتوس قدامی همراه با فعالیت متوسط ذوزنقه‌ای فوقانی، میانی و تحتانی حین فاز آماده‌سازی را تلاش این عضلات برای بالا بردن و چرخش فوقانی کتف و همچنین آبداسکشن بازو دانستند. میورا و همکاران (۱۶) ادعا داشتند که چهار عضله مذکور به منظور شتاب بخشیدن بازو رو به جلو، فعالیت خود را همچنان در سطح بالایی حفظ می‌کنند و در انتهای فعالیت متوسط رو به بالای این عضلات حین فاز کاهش شتاب بدلیل کنترل الوبیشن، پروترکشن و روتبیشن کتف بود. با نگاهی به نتایج تحقیق حاضر متوجه الگوی مشابهی از فعالیت عضلات مورد بررسی حین اجرای فازهای پنج گانه سرویس موجی خواهیم شد. به‌گونه‌ای که عضلات سراتوس قدامی و ذوزنقه‌ای‌های فوقانی، میانی و تحتانی، حین فازهای آماده‌سازی، شتاب و کاهش شتاب فعالیت متوسط رو به بالا (۳۰ تا ۵۰ درصد MVIC) تجربه کرده‌اند، این در حالی است که این عضلات حین فازهای جمع شدن و ادامه حرکت فعالیت متوسط رو به پایینی (۱۵ تا ۳۰ درصد MVIC) را ثبت کرده‌اند.

افزایش درصد فعالیت عضله ذوزنقه‌ای فوقانی و کاهش درصد فعالیت ذوزنقه‌ای میانی و سراتوس قدامی والیالیست‌های با دیسکنتری با نتایج گزارش شده در مطالعات قبلی همخوانی دارد(۲۱). هانگ<sup>۱</sup> و همکاران (۲۱)، متوجه فعالیت بالای ذوزنقه‌ای فوقانی دیسکنتری نوع دوم نسبت به گروه بدون دیسکنتری و کاهش فعالیت عضلات سراتوس قدامی و ذوزنقه‌ای تحتانی گروه ترکیبی دیسکنتری اول+دوم نسبت به گروه بدون دیسکنتری حین فاز پایین آوردن بازو شدند. محققان بیان داشتند که هر نوع از دیسکنتری کتف می‌تواند الگوی متفاوتی از فعالیت عضلات کتفی را نشان دهد. پیش‌تر دی میر<sup>۲</sup> (۲۲) نیز بیان داشته بود که وجود دیسکنتری کتف با ضعف عضله سراتوس قدامی، کاهش فعال‌سازی و تأخیر در زمان فعال‌سازی عضلات ذوزنقه‌ای میانی و تحتانی و عضله متوازی‌الا Strauss و همچنین افزایش فعال‌سازی و زودتر فعال شدن عضله ذوزنقه‌ای فوقانی همراه خواهد بود. از نگاهی دیگر اگر به این تغییرات عضلانی نگاه کنیم می‌توان این‌گونه استنباط کرد

1. Huang  
2. De Mey

که این ناهمجارتی می‌تواند باعث افزایش نسبت فعال‌سازی عضله ذوزنقه‌ای فوکانی به سراتوس قدامی<sup>۱</sup>، نسبت فعال‌سازی عضله ذوزنقه‌ای میانی<sup>۲</sup> و نسبت فعال‌سازی ذوزنقه‌ای فوکانی به ذوزنقه‌ای تحتانی<sup>۳</sup> شود (۲۲).

با توجه به توضیحات ارائه شده در فوق، به نظر می‌رسد که فاز شتاب سرویس موجی، می‌تواند الگوی متفاوتی از فعالیت عضلات سراتوس قدامی و ذوزنقه‌ای فوکانی و میانی در بین والبیالیست‌های با انواع دیسکنری نشان دهد. نتایج تحقیق حاضر نشان دهنده کاهش فعالیت سراتوس قدامی در گروه با بر جستگی زاویه تحتانی کتف حین فاز شتاب سرویس موجی بود. سراتوس قدامی عنوان عضله اصلی برای ثبات حاشیه داخلی و زاویه تحتانی کتف معرفی شده است تا از بالدار شدن<sup>۴</sup> و تیپینگ<sup>۵</sup> قدامی کتف جلوگیری کند (۲۳، ۱۱). با توجه به اینکه ثابت شده است ضعف عضلانی و الگوهای غیرطبیعی در به کارگیری سراتوس قدامی می‌تواند منجر به بالدار شدن و تیپینگ کتف شود (۲۴، ۲۵)، به احتمال زیاد والبیالیست‌های با بر جستگی زاویه تحتانی کتف نسبت به والبیالیست‌های بدون دیسکنری بیشتر در معرض این دو عارضه حین فاز شتاب سرویس موجی خواهند بود. مهار شدن ذوزنقه میانی ممکن است باعث ایجاد مشکلاتی در کنترل حرکت کتف شود. مطالعه حاضر همچنین کاهش فعالیت ذوزنقه میانی را حین فاز شتاب سرویس موجی در گروه‌های با بر جستگی زاویه تحتانی و حاشیه داخلی کتف نسبت به گروه بدون دیسکنری نشان داد. بالدار شدن کتف در حین بالا بردن بازو، که در افراد مبتلا به گیرافتادگی قدامی شانه و بی‌ثباتی قدامی گلتوهومرال شایع است، ممکن است خطر گیرافتادگی خلفی شانه را افزایش دهد (۲۶-۲۸). گزارش شده است که ذوزنقه فوکانی به عنوان بالابرندۀ کتف و چرخاننده رو به بالا عمل می‌کند (۲۹). در مطالعه حاضر، افزایش قابل توجهی در فعالیت ذوزنقه فوکانی گروه با بر جستگی حاشیه داخلی نسبت به گروه بدون دیسکنری گزارش شد. هانگ مدعی شده است که بر اساس جهت آناتومیکی، ذوزنقه فوکانی قادر نیست به عنوان چرخاننده خارجی کتف باعث اصلاح حاشیه داخلی کتف شود. محققان پیشنهاد می‌کنند که افزایش فعالیت ذوزنقه فوکانی ممکن است با کاهش فعالیت سراتوس قدامی و ذوزنقه‌ای تحتانی به عنوان زوج نیروهای مورد نیاز برای کنترل حرکت کتف مطابقت داشته باشد (۳۰). از این رو است که درمانگران و محققان تأکید کرده‌اند که تمرین‌هایی برای فعال‌سازی انتخابی سراتوس قدامی و ذوزنقه‌ای تحتانی با حداقل فعال‌سازی ذوزنقه فوکانی باید در افراد با بر جستگی حاشیه داخلی کتف در نظر گرفته شود (۳۱).

این مطالعه تلاش کرد برای اولین‌بار، الگوهای فعال‌سازی عضلات ثبات‌دهنده کتفی را حین یک تکلیف ورزشی (سرویس والبیال) مورد بررسی قرار دهد. از جمله نقاط قوت و کاربردی این مطالعه تقسیم سرویس والبیال به پنج فاز جداگانه می‌بود که این فازبندی می‌تواند به تحقیقات آینده جهت بررسی مقایسه و تعیین داده‌های به دست آمده کمک شایانی کند. لازم به ذکر است علی‌رغم تمام ملاحظات و اقدامات احتیاطی، این مطالعه دارای محدودیت‌هایی نیز بود. انجام تمامی

- 1. UT/SA
- 2. UT/MT
- 3. UT/LT
- 4. Winging
- 5. Tipping

مراحل آزمون‌های تحقیق توسط یک آزمونگر می‌تواند تعمیم‌پذیری یافته‌های ما را محدود کند. همچنین، آزمودنی‌های این مطالعه سطوح خفیف تا متوسط درد شانه را اعلام کردند؛ بنابراین، شواهد به دست آمده قابلیت تعمیم در مورد کسانی که سطح درد شدید را دارند کافی نمی‌باشد.

### نتیجه‌گیری

مطالعه حاضر نشان داد، والیالیست‌های با برجستگی حاشیه داخلی کتف، بیشتر مستعد الگوهای غیرطبیعی در به کارگیری عضلات ذوزنقه‌ای فوقانی و میانی هستند. این در حالی است که احتمالاً والیالیست‌های با برجستگی زاویه تحتانی احتمالاً کاهش فعالیت عضله ذوزنقه‌ای میانی و سراتوس قدامی را حین فاز شتاب سرویس موجی تجربه خواهند کرد. لازم به ذکر است که نتایج تحقیق حاضر هیچ‌گونه تفاوتی از لحاظ الگوی به کارگیری عضلات موردن بررسی در دیگر فازهای پنج‌گانه سرویس موجی نشان نداد.

### تشکر و قدردانی

این مطالعه مستخرج از رساله دکتری آسیب‌شناسی ورزشی و حرکات اصلاحی دانشگاه تهران است و توسط کمیته اخلاق دانشگاه تهران مورد تأیید قرار گرفت. همچنین نویسنده‌گان از کلیه والیالیست‌های شرکت‌کننده در این تحقیق کمال تشکر و قدردانی را دارند.

### References

1. Pluim BM (2013) Scapular dyskinesis: practical applications. <https://doi.org/10.1136/bjsports-2013-092722>
2. Kibler W Ben, Ludewig PM, McClure PW, Michener LA, Bak K, Sciascia AD (2013) Clinical implications of scapular dyskinesis in shoulder injury: the 2013 consensus statement from the 'Scapular Summit.' Br J Sport Med 47:877–885. <https://doi.org/10.1136/bjsports-2013-092425>
3. Zago M, Kawczyński A, Klich S, Pietraszewski B, Galli M, Lovecchio N (2020) Fatigue-Induced Scapular Dyskinesis in Healthy Overhead Athletes. Front Bioeng Biotechnol 8:302. <https://doi.org/10.3389/fbioe.2020.00302>
4. McClure P, Tate AR, Kareha S, Irwin D, Zlupko E (2009) A clinical method for identifying scapular dyskinesis, part 1: reliability. J Athl Train 44:160–164. <https://doi.org/10.4085/1062-6050-44.2.160>.
5. Kibler W Ben, Uhl TL, Maddux JWQ, Brooks P V, Zeller B, McMullen J (2002) Qualitative clinical evaluation of scapular dysfunction: a reliability study. J shoulder Elb Surg 11:550–556. <https://doi.org/10.1067/mse.2002.126766>.
6. Burn MB, McCulloch PC, Lintner DM, Liberman SR, Harris JD (2016) Prevalence of scapular dyskinesis in overhead and nonoverhead athletes: a systematic review. Orthop J Sport Med 4:2325967115627608. <https://doi.org/10.1177/2325967115627608>.
7. Briner WW, Kacmar L (1997) Common injuries in volleyball. Sport Med 24:65–71. <https://doi.org/10.2165/00007256-199724010-00006>.
8. Jacobson RP, Benson CJ (2001) Amateur volleyball attackers competing despite shoulder pain: analysis of play habits, anthropometric data, and specific pathologies. Phys Ther Sport 2:112–122. <https://doi.org/10.1054/ptsp.2000.0045>.

9. Reeser JC, Fleisig GS, Bolt B, Ruan M (2010) Upper Limb Biomechanics During the Volleyball Serve and Spike. *Sports Health* 2:368–374. <https://doi.org/10.1177/1941738110374624>.
10. Thomas SJ, Swanik KA, Swanik C, Huxel KC (2009) Glenohumeral rotation and scapular position adaptations after a single high school female sports season. *J Athl Train* 44:230–237. <https://doi.org/10.4085/1062-6050-44.3.230>.
11. Escamilla RF, Andrews JR (2009) Shoulder muscle recruitment patterns and related biomechanics during upper extremity sports. *Sport Med* 39:569–590. <https://doi.org/10.2165/00007256-200939070-00004>.
12. Schafle MD (1993) Common injuries in volleyball: treatment, prevention and rehabilitation. *Sport Med* 16:126–129. <https://doi.org/10.2165/00007256-199316020-00004>.
13. Schafle MD, Requa RK, Patton WL, Garrick JG (1990). Injuries in the 1987 national amateur volleyball tournament. *Am J Sports Med* 18:624–631. <https://doi.org/10.1177/036354659001800612>.
14. Watkins J, Green BN (1992) Volleyball injuries: a survey of injuries of Scottish National League male players. *Br J Sports Med* 26:135–137. <https://doi.org/10.1136/bjsm.26.2.135>.
15. Meister K (2000). Injuries to the shoulder in the throwing athlete: part one: biomechanics/ pathophysiology / classification of injury. *Am J Sports Med* 28:265–275. <https://doi.org/10.1177/03635465000280022301>
16. Miura K, Tsuda E, Kogawa M, Ishibashi Y (2020) The effects of ball impact position on shoulder muscle activation during spiking in male volleyball players. *JSES Int* 4:302–309. <https://doi.org/10.1016/j.jseint.2019.12.009>.
17. Rokito AS, Jobe FW, Pink MM, Perry J, Brault J (1998) Electromyographic analysis of shoulder function during the volleyball serve and spike. *J Shoulder Elb Surg* 7:256–263. [https://doi.org/10.1016/S1058-2746\(98\)90054-4](https://doi.org/10.1016/S1058-2746(98)90054-4).
18. Kugler A, Krüger-Franke M, Reininger S, Trouillier HH, Rosemeyer B (1996) Muscular imbalance and shoulder pain in volleyball attackers. *Br J Sports Med* 30:256–259. <https://doi.org/10.1136/bjsm.30.3.256>.
19. Magarey ME, Jones MA (2003) Dynamic evaluation and early management of altered motor control around the shoulder complex. *Man Ther* 8:195–206. [https://doi.org/10.1016/S1356-689X\(03\)00094-8](https://doi.org/10.1016/S1356-689X(03)00094-8).
20. Huang T-S, Ou H-L, Huang C-Y, Lin J-J (2015) Specific kinematics and associated muscle activation in individuals with scapular dyskinesis. *J Shoulder Elb Surg* 24:1227–1234. <https://doi.org/10.1016/j.jse.2014.12.022>.
21. de Toledo JM, Loss JF, Janssen TW, van der Scheer JW, Alta TD, Willems WJ, Veeger DHEJ (2012) Kinematic evaluation of patients with total and reverse shoulder arthroplasty during rehabilitation exercises with different loads. *Clin Biomech* 27:793–800. <https://doi.org/10.1016/j.clinbiomech.2012.04.009>.
22. Merletti R, Rau G, Disselhorst-Klug C, Hagg GM (2016) Surface electromyography for the Non-invasive assessment of muscles (SENIAM). *Biomed. Heal. Res. Progr. (BIOMED II) Eur. union*
23. De Mey K, Danneels L, Cagnie B, Huyghe L, Seyns E, Cools AM (2013) Conscious correction of scapular orientation in overhead athletes performing selected shoulder rehabilitation exercises: the effect on trapezius muscle activation measured by surface electromyography. *J Orthop Sport Phys Ther* 43:3–10. <https://www.jospt.org/doi/10.2519/jospt.2013.4283>.
24. Neumann DA (2010) *Kinesiology of the musculoskeletal system: Foundation for rehabilitation*. Mosby & Elsevier
25. Kibler W Ben, Sciascia A (2010) Current concepts: scapular dyskinesis. *Br J Sports Med* 44:300–305. <https://doi.org/10.1136/bjsm.2009.058834>.
26. Martin RM, Fish DE (2008) Scapular winging: anatomical review, diagnosis, and treatments. *Curr Rev Musculoskelet Med* 1:1–11. <https://doi.org/10.1007/s12178-007-9000-5>.
27. Ludewig PM, Cook TM (2000) Alterations in shoulder kinematics and associated muscle activity in people with symptoms of shoulder impingement. *Phys Ther* 80:276–291. <https://doi.org/10.1093/pjt/80.3.276>.
28. Ogston JB, Ludewig PM (2007) Differences in 3-dimensional shoulder kinematics between persons with multidirectional instability and asymptomatic controls. *Am J Sports Med* 35:1361–1370. <https://doi.org/10.1177/0363546507300820>.
29. Mihata T, Jun BJ, Bui CNH, Hwang J, McGarry MH, Kinoshita M, Lee TQ (2012) Effect of scapular orientation on shoulder internal impingement in a cadaveric model of the cocking phase of throwing.

- JBJS 94:1576–1583. <https://doi.org/10.2106/jbjs.j.01972>
- 30. Pizzari T, Wickham J, Balster S, Ganderton C, Watson L (2014) Modifying a shrug exercise can facilitate the upward rotator muscles of the scapula. *Clin Biomech* 29:201–205. <https://doi.org/10.1016/j.clinbiomech.2013.11.011>.
  - 31. Ellenbecker TS, Cools A (2010) Rehabilitation of shoulder impingement syndrome and rotator cuff injuries: an evidence-based review. *Br J Sports Med* 44:319–327 <https://doi.org/10.1136/bjsm.2009.058875>.
  - 32. Cools AMJ, Struyf F, De Mey K, Maenhout A, Castelein B, Cagnie B (2014) Rehabilitation of scapular dyskinesis: from the office worker to the elite overhead athlete. *Br J Sports Med* 48:692–697. <https://doi.org/10.1136/bjsports-2013-092148>.